

Autor(en): **[s.n.]**

Objektyp: **Appendix**

Zeitschrift: **Mémoires de la Société Vaudoise des Sciences Naturelles**

Band (Jahr): **18 (1987-1991)**

Heft 2

PDF erstellt am: **22.07.2024**

### **Nutzungsbedingungen**

Die ETH-Bibliothek ist Anbieterin der digitalisierten Zeitschriften. Sie besitzt keine Urheberrechte an den Inhalten der Zeitschriften. Die Rechte liegen in der Regel bei den Herausgebern.

Die auf der Plattform e-periodica veröffentlichten Dokumente stehen für nicht-kommerzielle Zwecke in Lehre und Forschung sowie für die private Nutzung frei zur Verfügung. Einzelne Dateien oder Ausdrucke aus diesem Angebot können zusammen mit diesen Nutzungsbedingungen und den korrekten Herkunftsbezeichnungen weitergegeben werden.

Das Veröffentlichen von Bildern in Print- und Online-Publikationen ist nur mit vorheriger Genehmigung der Rechteinhaber erlaubt. Die systematische Speicherung von Teilen des elektronischen Angebots auf anderen Servern bedarf ebenfalls des schriftlichen Einverständnisses der Rechteinhaber.

### **Haftungsausschluss**

Alle Angaben erfolgen ohne Gewähr für Vollständigkeit oder Richtigkeit. Es wird keine Haftung übernommen für Schäden durch die Verwendung von Informationen aus diesem Online-Angebot oder durch das Fehlen von Informationen. Dies gilt auch für Inhalte Dritter, die über dieses Angebot zugänglich sind.

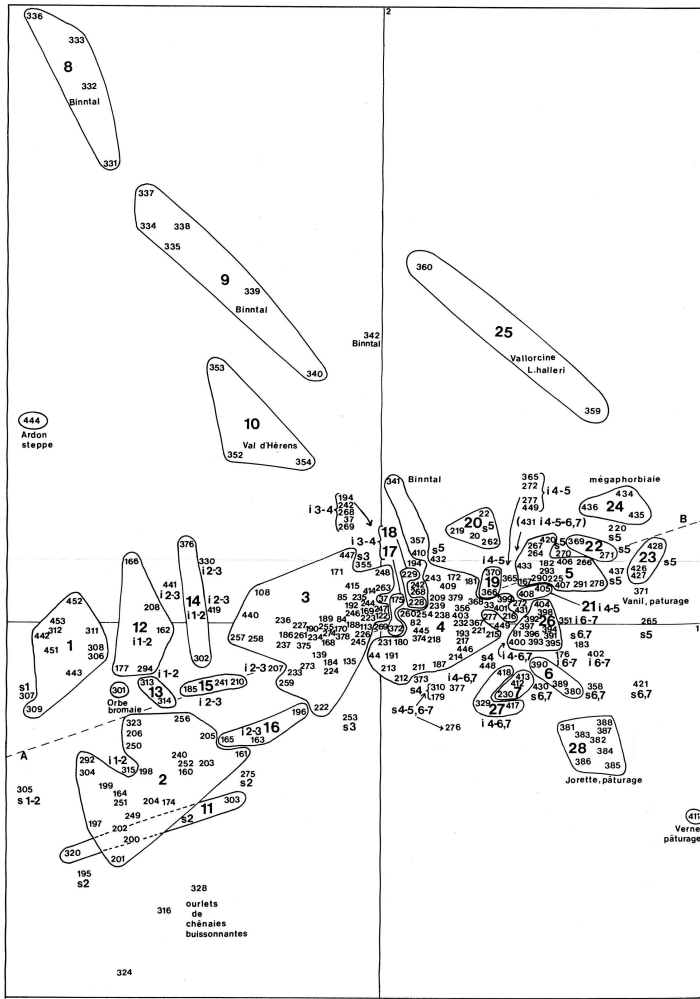


Figure 8 (Chap. 6.3.). AFC des relevés originaux de pelouses à *Laserpitium siler* 20-453 : 260 relevés, après élimination de 13 satellites trop excentriques (noyaux 29 à 32) d'une AFC préliminaire portant sur les 273 relevés de la figure 9.  
 1-28 : noyaux stables des dendrogrammes (fig. 9).  
 AB : site approximatif du nuage des pelouses riches en *Laserpitium siler* dans le diton.  
 14-6.7 : «intermédiaire» (définition sous 5.3) entre 4 et le groupe 6-7.  
 s5 : «satellite» voisin du noyau stable 5.

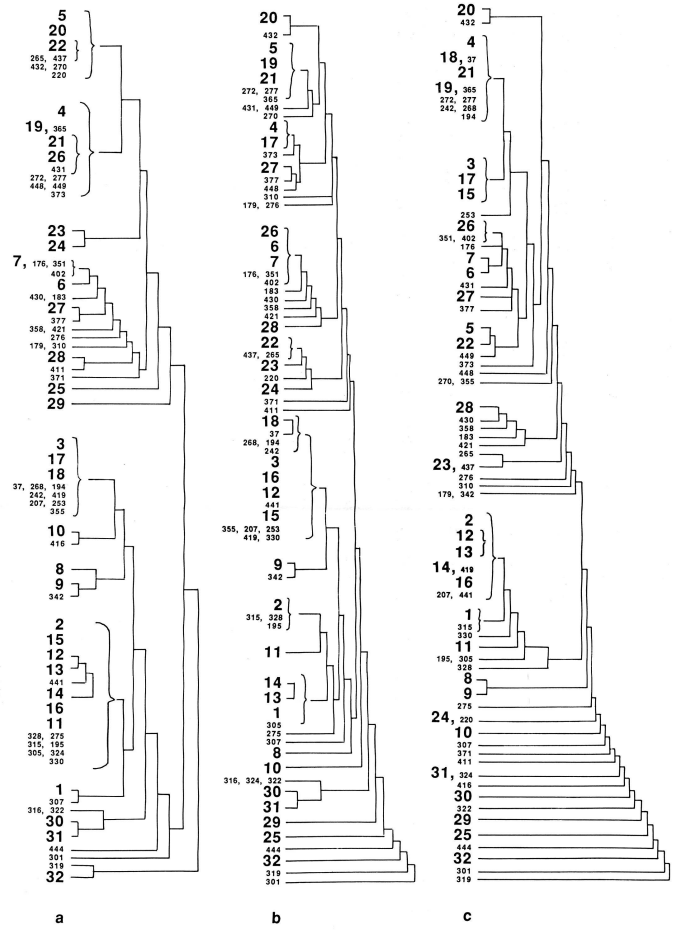


Figure 9 (Chap. 6.4.1.) - Clustering des relevés originaux de pelouses à *Laserpitium siler* et groupements analogues 273 relevés originaux, sauf: 331 à 342: RICHARD 1980; *Astragalus-Laserpitietum* - 444: (Ardon) DELARZE; steppe. Programme CLUSTAN, avec distance euclidienne, appliqué aux données réduites par une AFC préalable (77 axes et pondération des coordonnées).  
 Forme et symboles des dendrogrammes condensés: voir figure 5 (chap. 4.5).  
 Trois algorithmes: a) Ward's, b) complete linkage, c) average linkage.  
 1 à 32 : noyaux stables (liste des relevés appartenant aux noyaux, voir au dos)

Liste des relevés appartenant aux noyaux stables de la figure 9 (voir au dos)

<b>1</b>	306 451	308 452	309 453	311	312	442	443
<b>2</b>	160 200 240 304	161 201 249 323	164 202 250	174 203 251	197 204 252	198 205 256	199 206 292
<b>3</b>	84 168 189 227 245 259 414	85 169 190 233 246 261 415	108 170 192 234 247 263 440	113 171 222 235 248 273 447	122 184 223 236 255 274 450	135 186 224 237 257 375	139 188 226 244 258 378
<b>4</b>	33 191 215 238 357 403	44 193 216 239 367 409	82 209 217 243 368 410	172 211 218 254 374 445	180 212 221 260 379 446	181 213 231 341 399	187 214 232 356 401
<b>5</b>	167 290	182 291	225 293	264 406	266 407	267 420	278 433
<b>6</b>	380	389	390	20	20 262	22	219
<b>7</b>	230	412	413	21	405	408	
<b>8</b>	331 336	332	333	22	271	369	
<b>9</b>	334 338	335 339	337 340	23	426	427	428
<b>10</b>	352	353	354	24	434	435	436
<b>11</b>	303	320		25	359	360	
<b>12</b>	162 208	166 294	177	26	81 393 396 400	391 394 397 404	392 395 398
<b>13</b>	313	314		27	329	417	418
<b>14</b>	302	376		28	381 384 387	382 385 388	383 386
<b>15</b>	185	210	241	29	422 425	423	424
<b>16</b>	163	165	196	30	317	318	
<b>17</b>	175	372		31	321	325	
<b>18</b>	228	229		32	326	327	
<b>19</b>	366	370					

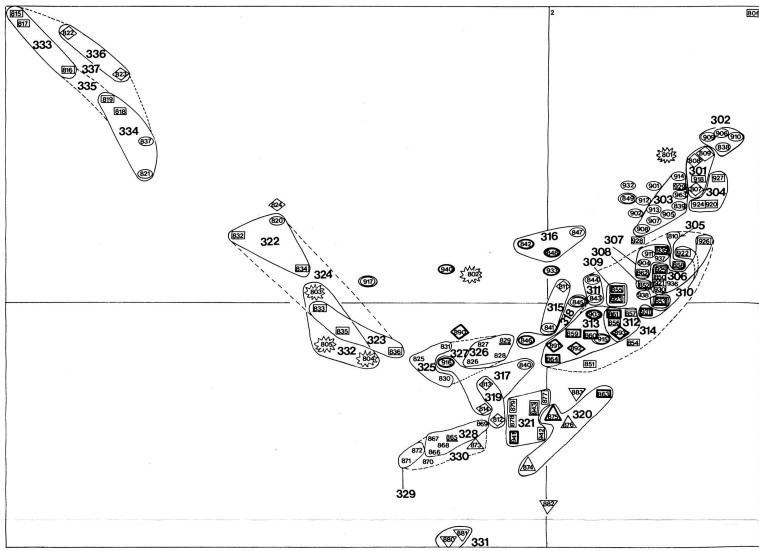


Figure 18 (Chap. 9.1) - AFC de l'analyse "générale" des pelouses à *Laserpitium siler* et Alliances voisines  
 Programme CORRES  
 Matériel: 131 groupements végétaux représentés par la constance de leurs espèces (codée selon 2.4), numérotés à partir de 801 (chiffres maigres). Les figurés indiquent dans quelle alliance ces groupements sont classés pour l'instant. La largeur du trait renseigne sur la présence de *Laserpitium siler*:  
 trait maigre : *Laserpitium siler* absent ou accidentel  
 double trait : " " de constance + à II  
 trait gras : " " de constance III à IV  
 301 à 337 : noyaux stables dégagés par le clustering (fig. 19), entourés d'un cerne

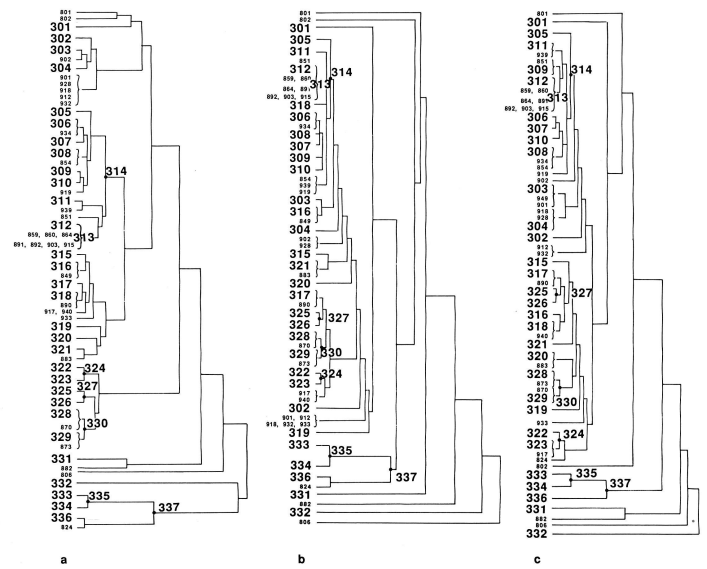


Figure 19 (Chap. 9.1.). Clustering de l'analyse "générale" des pelouses à *Laserpitium siler* et alliances voisines  
 Programme CLUSTAN, après réduction des données par une AFC préalable (50 axes, pondération des coordonnées); distance euclidienne.  
 Matériel comme figure 18.  
 Algorithmes: a) Ward's, b) average linkage, c) complete linkage.  
 Forme et symboles des dendrogrammes condensés: voir figure 5 (chap. 4.5).  
 801 et suivants : groupements végétaux  
 301 à 337 : noyaux stables; leur composition est fournie par les cerne reportés sur la figure 18.





Figuré du noyau	Numéros compris entre :	Nom du groupement	Référence	Numéro du groupement dans fig. 18-19		
○	306 et 453	Groupement original I	Chap. 8.2.	-		
□	160 et 323	Groupement original II	Chap. 8.2.	890		
◇	84 et 378	Groupement original III	Chap. 8.2.	891		
○	33 et 410	Groupement original IV	Chap. 8.2.	892		
○	167 et 420	Groupement original V	Chap. 8.2.	893		
▽	230 et 402	Groupement original VI	Chap. 8.2.	-		
○	521 et 530	<i>Serratulo-Caricetum sempervirentis</i>	BERSET (1969, p. 40)	861		
○	531 et 546	<i>Pulsatillo-Anemonetum</i>	BÉGUIN (1972, p. 68-69)	852		
□	550 et 551	Var. à <i>Dracocephalum</i>	Sass. à <i>Buphtalmum</i>	RICHARD (1977, p. 16)	860	
	553 et 558	Var. à <i>Molinia</i>				<i>Peucedano-Laserpitietum</i>
	559 et 568	Sass. à <i>Anemone narcissiflora</i>				
[243]	594 et 597	<i>Senecioni-Semperviretum</i>	RICHARD (1977, p. 25)	862		
○	602 et 620	<i>typicum et arctostaphylet.</i>	<i>Seslerio-Laserpitietum</i>	BÉGUIN (1972, p. 76-77)	846	
	621 et 627	<i>stipetosum</i>				
△	628 et 645	<i>Campanulo-Laserpitietum</i>	BÉGUIN (1972, p. 76-77)	859		
▽	646 et 652	<i>Teucryo-Globularietum</i>	RICHARD (1977, p. 26)	842		
◇	664 et 678	<i>Seslerio-Arctostaphyletum</i>	BÉGUIN (1972, p. 90-91)	845		
◇	682 et 691	<i>Caricetum ferrugineae calamagrostietosum</i>	DUTOIT (1983, VN 30)	856		
▽	701 et 708	Ass. à <i>Avena pratensis</i> et <i>Peucedanum austriacum</i>	BERSET (1954, p. 511-516)	864		
△	709 et 711	<i>Seslerio-Laserpitietum</i>	PUTOT (1975, p. 68)	916		
[222]	713 et 729	<i>Plantagini-Caricetum</i>	BÉGUIN (1972, p. 104-105)	844		
[221]	730 et 755	<i>Seslerio-Caricetum jurassicum</i>	BÉGUIN (1972, p. 96-97)	843		
□	758 et 772	<i>Seslerio-Semperviretum</i>	DUTOIT (1934, p. 380-384)	903		
[237]	773	Groupement à <i>Carex sempervirens</i> et <i>Laserpitium siler</i>	LÜDI (1953, p. 47)	915		
▽	774 et 783	<i>Caricetum ferrugineae</i>	DUTOIT (1983, VN 33)	857		
	20 et 441	55 relevés originaux hors groupement	Tableau 10			





